

Санкт-Петербургский политехнический университет Петра Великого

Кафедра Техника высоких напряжения электроизоляционная и кабельная техника

Самостоятельно устанавливаемый образовательный стандарт

Направление подготовки бакалавров 13.03.02 Электроэнергетика и электротехника

Учебная  
дисциплина

# ТЕХНИКА ВЫСОКИХ НАПРЯЖЕНИЙ

курс лекций

д.т.н. профессор Ю.Н. Бочаров Ю.Н., д.т.н., профессор В.В. Титков,  
к.т.н., доцент А.П. Ненашев, д.т.н., профессор Кривошеев С.И. к.т.н., доц.  
Сухичев М.И.

Санкт-Петербург 2018

# Разделы курса

- Основы физики электрического пробоя газовых, жидких и твердых диэлектриков
- Основные виды изоляции и изоляционных конструкций установок высокого напряжения
- Испытания и измерения на высоком напряжении
- Перенапряжения в сетях ВН и защита от перенапряжений

## Краткое историческое введение



Применение высокого напряжения как метода увеличения передаваемой мощности и снижении потерь при транспорте электроэнергии

(1)  $P = UI$  - передаваемая мощность

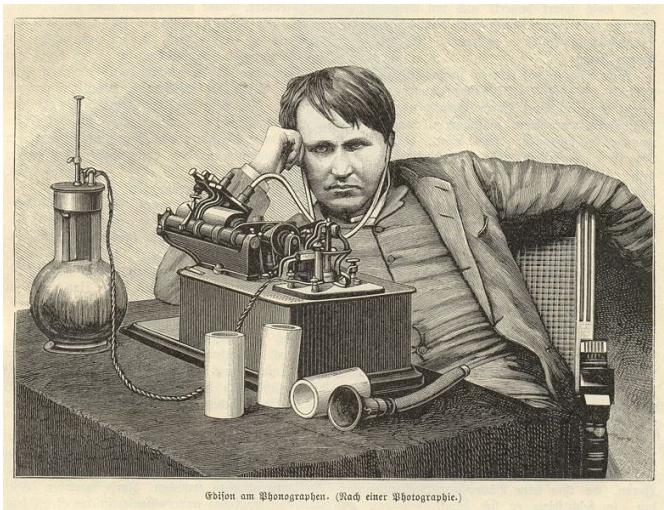


(3)  $P_{np} = \frac{P^2}{U^2} R_{np}$

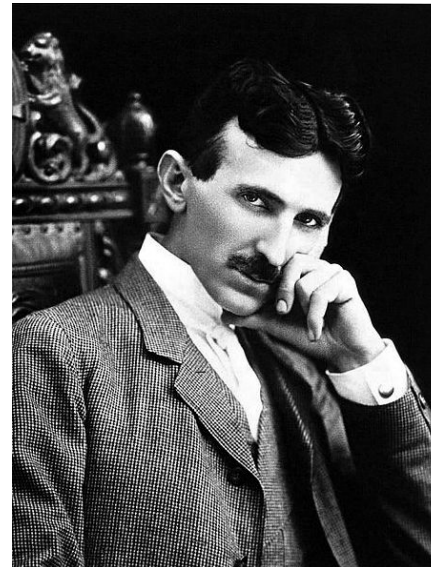
(2)  $P_{np} = I^2 R_{np}$  - потери мощности в проводах  
сопротивлением  $R_{np}$

При передаваемой мощности  $P = \text{const}$   
потери  $\downarrow$  при  $U \uparrow$


«Война токов» нач. 1881 г. Окончание 2007

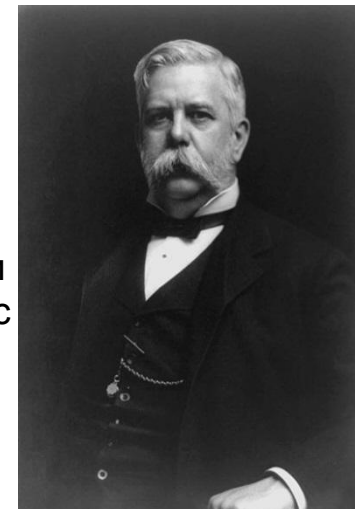



Т.А. Эдисон – разработчик систем передачи электроэнергии постоянным током



Н.Тесла

Теоретически обосновал и практически внедрил передачи переменным током с использованием производственных мощностей фирмы Вестинггауз 



1879 патент на трехпроводную систему передачи постоянным током - 110/0/+110 (Эдисон) 

1882 – первые электростанции постоянного тока (Эдисон) в Англии и США

1881 демонстрация первого мощного трансформатора для преобразования переменного тока (Л.Голлар, ДЖ.Гиббс)

1882 Первая линия электропередачи 500 В в Массачусетс, США (Вестингауз)

1882 Изобретение многофазного мотора переменного тока (Тесла)

1888 Изобретение счетчика электроэнергии переменного тока (Тесла)

1891 Демонстрация трехфазной системы  
М.О. Доливо-Добровольского фирма АЕГ  
175 км 8,5 кВ



1893 «Ниагарский проект» Баффало, США (Тесла, Вестингауз)

1912 Россия, Московская губерния

ВЛ 30 кВ 1915 – ВЛ 70 кВ

Современная шкала напряжений в РФ:

6, 10, 35 кВ – трехфазные сети с изолированной нейтралью

110, 220, 330, 500, 750 (1150) кВ – трехфазные сети с заземленной нейтралью



# Инфраструктура высоковольтного энергоснабжения



## Воздушные линии электропередачи ВЛ

1



2



## Кабельные линии электропередачи КЛ

3



4

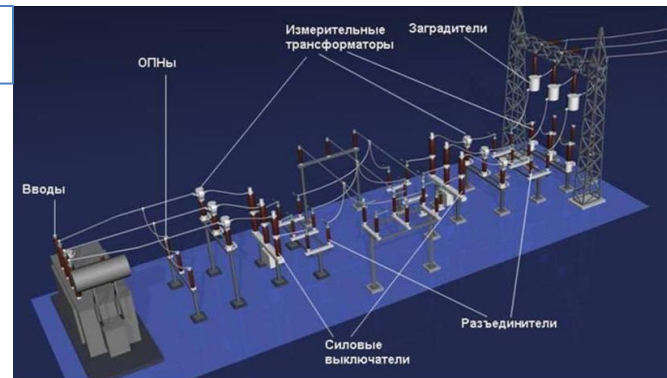


## Преобразовательные подстанции

5



6



## Протяженность магистральных ЛЭП в РФ



# Электрический разряд: основные определения

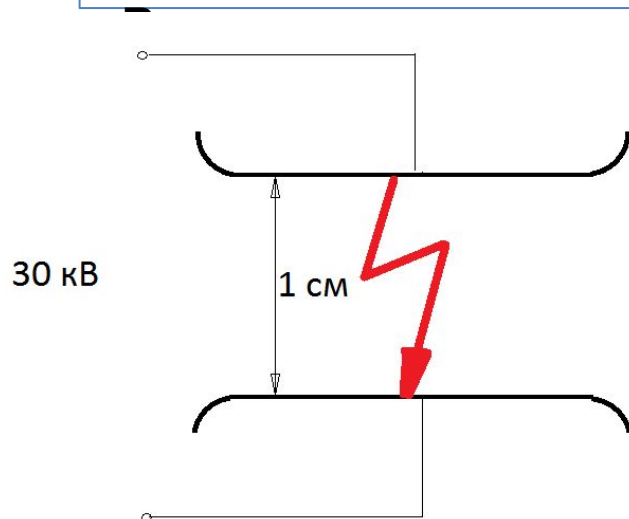
Самостоятельный разряд – разряд, протекающий в отсутствии искусственных ионизирующих факторов

Начальное напряжение ( $U_n$ ) – напряжение обеспечивающее условия самостоятельного разряда

Разрядное напряжение ( $U_p$ ) – напряжение, обеспечивающее существование разряда данного вида (искра, корона и т.д.)

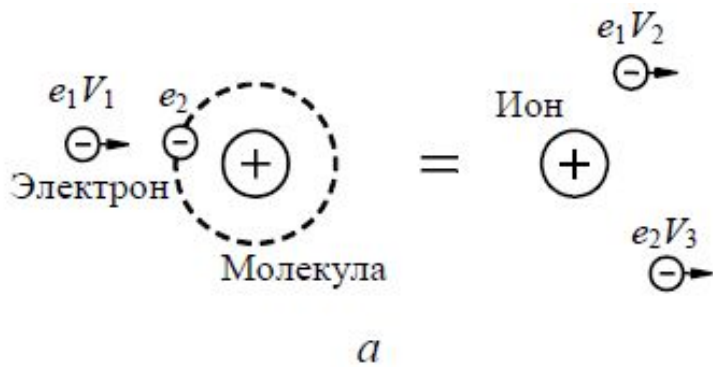
Пробивное напряжение ( $U_p$ ) – напряжение, обеспечивающее разряд в промежутке, сопровождающийся образованием электропроводящего канала

Напряжение пробоя воздушного промежутка длиной **1 см** при нормальных условиях в однородном электрическом поле составляет **30**

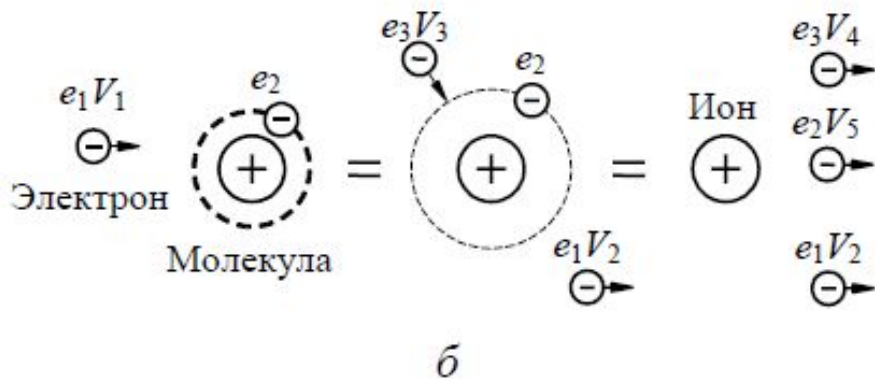


↓  
Электрическая прочность  
воздуха **30 кВ/см**

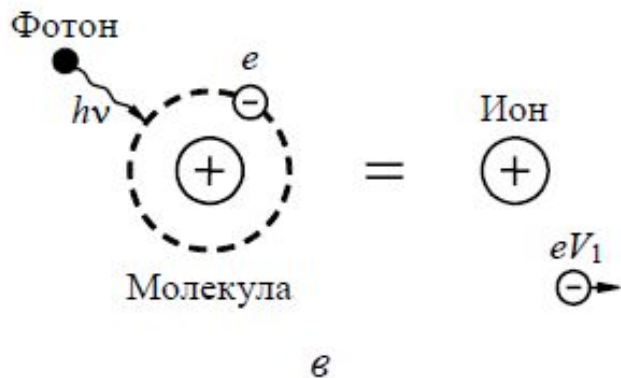
# Ионизационные процессы в объеме газа



Ионизация электронным ударом



Ступенчатая ионизация



Фотоионизация

# Энергия ионизации ( $W_i$ ) и возбуждения



## Энергии диссоциации и ионизации

Молекула	Энергия диссоциации, эВ	Атом	Энергия ионизации, эВ
O <sub>2</sub>	5,17	O	13,6
N <sub>2</sub>	9,77	N	14,5

## Энергетические условия ионизационных реакций

Непосредственная ионизация электронным ударом  
Ионизация возбужденной молекулы

$$\frac{m_e v_e^2}{2} > W_i, \quad v_e, m_e \quad \text{- скорость и масса электрона}$$

$$\frac{m_e v_e^2}{2} > W_i - W_a$$

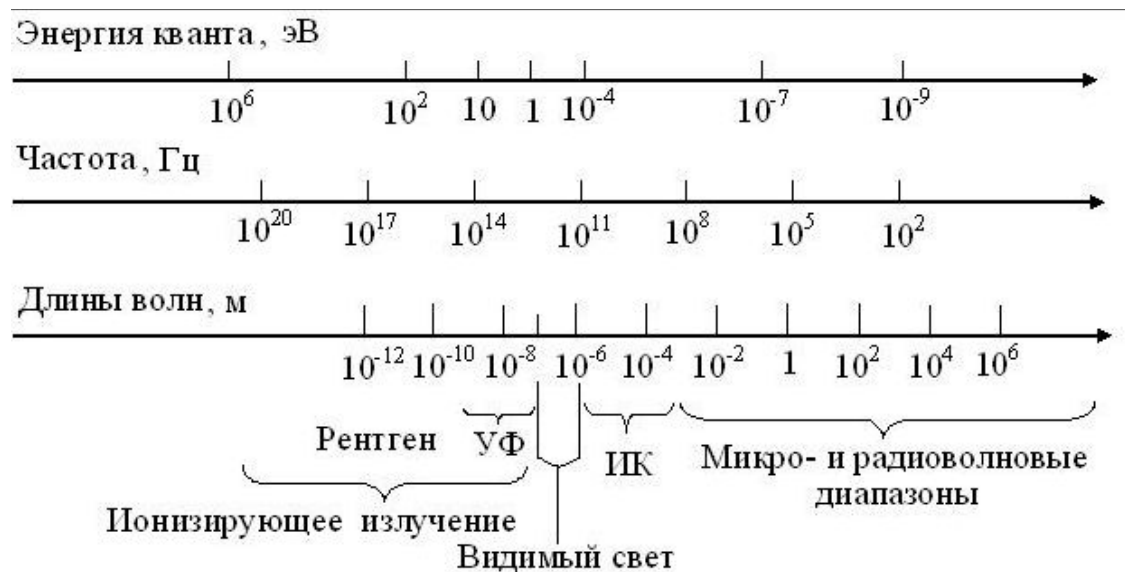
Фотоионизация  $h\nu > W_i$

$\nu$  - частота излучения

$$h = 6.62 \cdot 10^{-34} \text{ Дж} \cdot \text{с} \quad \begin{array}{l} \text{- постоянная} \\ \text{- Планка} \end{array}$$

Из возбужденного состояния

$$h\nu > W_i - W_a$$

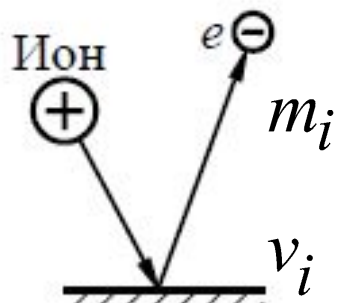






# Поверхностная ионизация ( Эмиссия электронов из катода)

1) Бомбардировка поверхности катода положительными ионами



Энергетическое условие

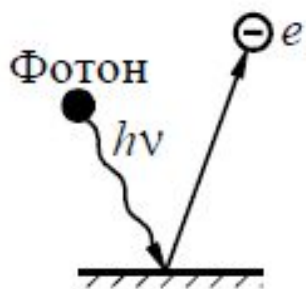
- масса иона

- скорость иона

$$\frac{m_i v_i^2}{2} > A_{\text{вых}}$$

Катод  $A_{\text{вых}} = 4 - 5 e \cdot V$  - работа выхода электрона из металла

2) Фотоэмиссия с катода

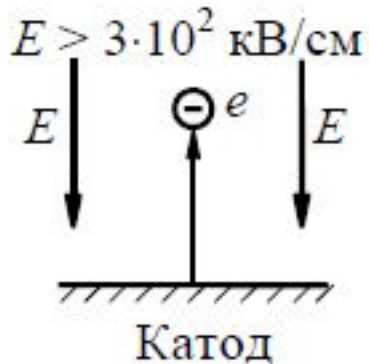


Энергетическое условие

$$h\nu > A_{\text{вых}}$$

Катод

### 3) Автоэлектронная эмиссия



Плотность тока автоэлектронной эмиссии изменяется в широких пределах, достигая  $10^8 - 10^{10} \text{ A/м}^2$ ,

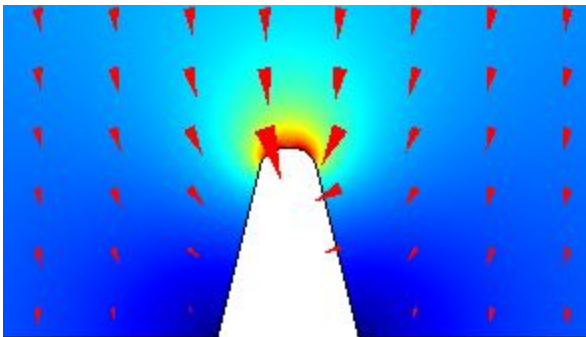
Это соответствует  $E = 10 \text{ кВ/см} - 1000 \text{ кВ/см}$



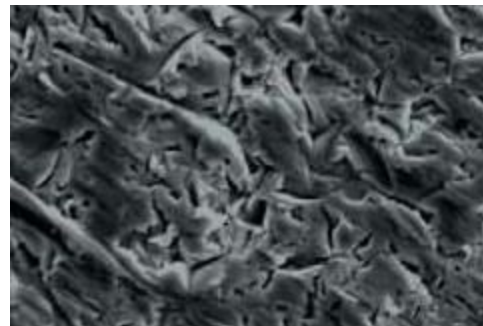
Необработанные электроды



Обработанные (полированные) электроды

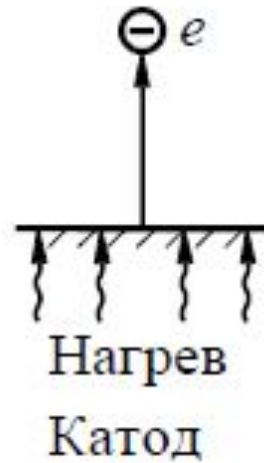


Усиление электрического поля на поверхности микровыступа

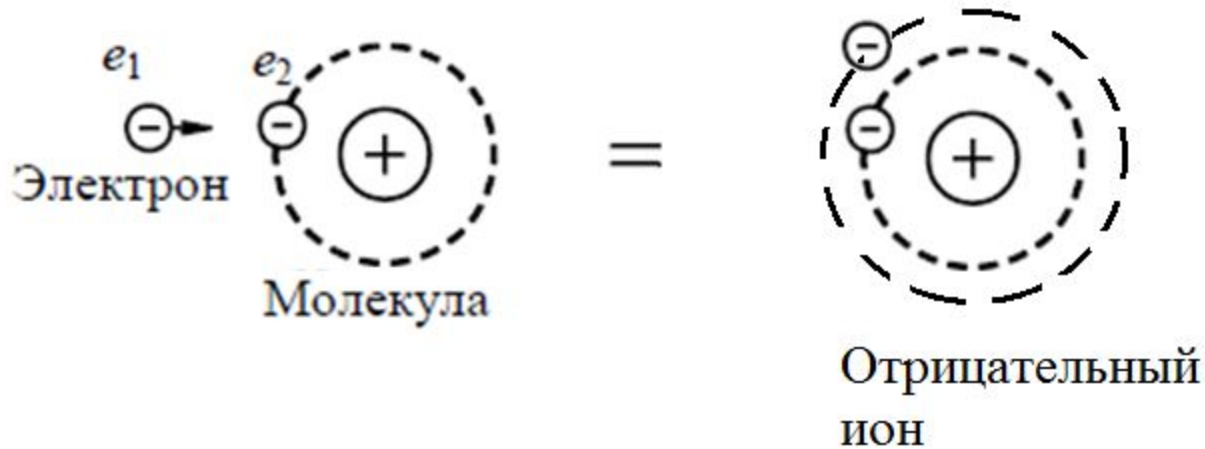


Микрофотография поверхности меди увеличение 2000x

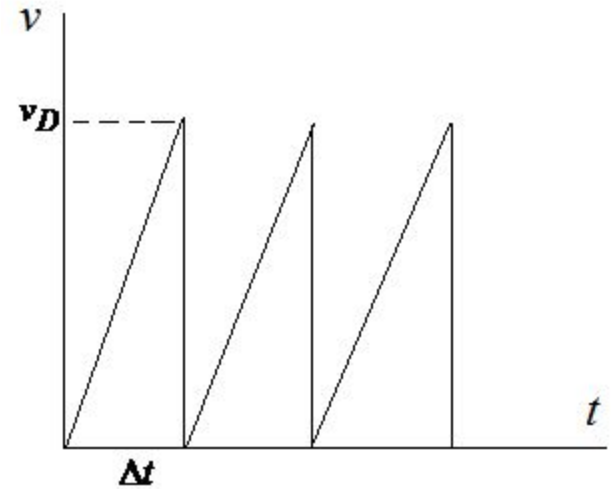
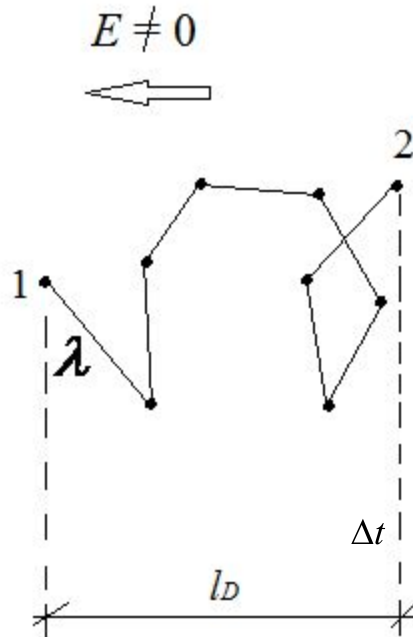
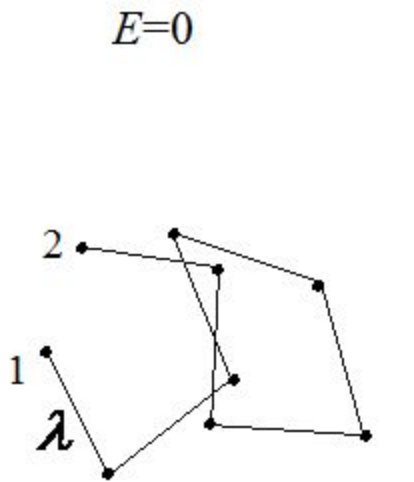
#### 4) Термоэлектронная эмиссия



5) Образование отрицательных ионов захватом электрона молекулой (прилипание) – характерно для некоторых молекул –  $O_2$ ,  $H_2O$ ,  $SF_6$  (элегаз)



# Газ в электрическом поле. Дрейф заряженных частиц 📢



Скорость дрейфа  
 $v_D = 0$

$$v_D = \frac{l_D}{t_2 - t_1}$$

$\lambda$  – длина свободного пробега  
 $v_T$  – «тепловая» скорость частицы

$$m \frac{v_D}{\Delta t} = qE \quad \Delta t = \frac{\lambda}{v_T}$$

$$v_D = K \cdot E \quad \leftarrow \quad v_D = \frac{q\lambda}{mv_T} E$$

$K$  – коэффициент

подвижности  
 Воздух

Ионы  $K = 2,2 - 2,5 \text{ см}^2/(\text{В} \cdot \text{с})$

Электроны  $K = 220 - 250$

$\text{см}^2/(\text{В} \cdot \text{с})$

Для напряженности электрического пробоя воздуха дрейфовые скорости составляют:  
 Электроны  $2 \cdot 10^5 \text{ м/с}$  Ионы  $2 \cdot 10^3 \text{ м/с}$

# Ионизация электронным ударом . Электронная лавина

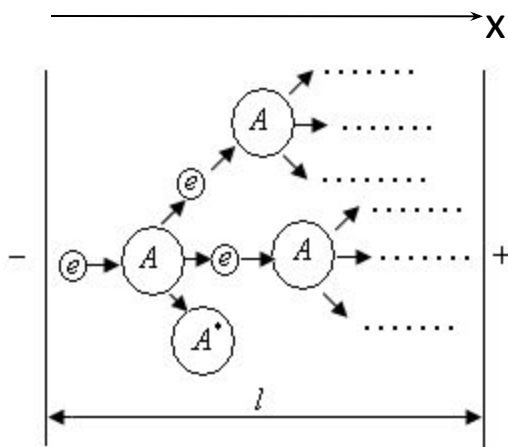


Схема формирования лавины электронов

$N_e$  - число электронов в лавине

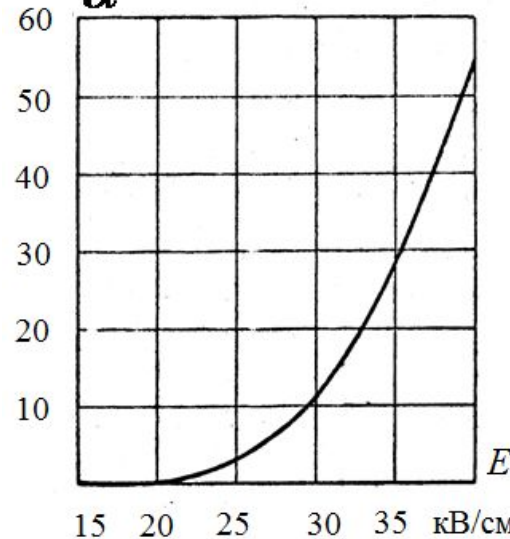
$\alpha$  - коэффициент ударной ионизации число ионизаций, совершаемых одним электроном на единице длины пути вдоль электрического поля

Уравнение числа электронов в лавине

$$(1) \quad \frac{dN_e(x)}{dx} = \alpha N_e(x)$$

$x$  – расстояние пройденное лавиной вдоль

$\alpha$



Коэффициент ударной ионизации в воздухе при нормальных условиях

(3)  $\frac{\alpha}{p} = A e^{-\frac{B}{E}}$  - формула Таунсенда

где  $A = 8,5 \text{ 1/см} \cdot \text{мм рт. ст.}$ ,  $B = 250 \text{ В/см} \cdot \text{мм рт. ст.}$  для  $E/p = 20-150 \text{ В/см} \cdot \text{мм рт. ст.}$  и  $A = 14,6 \text{ 1/см} \cdot \text{мм рт. ст.}$ ,  $B = 365 \text{ В/см} \cdot \text{мм рт. ст.}$  для  $E/p = 150-160 \text{ В/см} \cdot \text{мм рт. ст.}$

Напряженность пробоя воздуха  $E = 30 \text{ кВ/см}$  при этом  $\alpha = 10 \text{ 1/см}$